

# آشکارسازی رخداد آتش به کمک تصاویر ویدئویی در محیط های سر باز شهری

فائزه کریمی زارچی<sup>۱\*</sup>, ولی درهمی<sup>۲</sup>, علی محمد لطیف<sup>۳</sup> و علی ابراهیمی<sup>۴</sup>

<sup>۱,۲,۳</sup>کارشناسی ارشد، دانشکده مهندسی کامپیوتر، دانشگاه یزد، یزد، ایران

<sup>۴</sup> واحد فناوری اطلاعات و ارتباطات شرکت گاز استان یزد، یزد، ایران

## چکیده

سامانه های تشخیص حریق با توجه به قابلیت گسترش سریع و توانایی بالای آتش در تحریب، از اهمیت بالایی برخوردار هستند. روش های سنتی شناسایی آتش که بر مبنای اثرات ناشی از آتش مانند دود و حرارت هستند، در محیط های بزرگ و سر باز کارایی لازم را ندارند. هدف از این مقاله ارائه روشی کار آمد برای تشخیص آتش به کمک تصاویر ویدئویی در محیط های سر باز شهری با تمرکز بر انبار شرکت گاز با هزینه محاسباتی پایین است. در روش پیشنهادی از مؤلفه رنگ و بیزگی های زمانی و مکانی که خاصیت تفکیک کنندگی بالایی دارد، استفاده شده است. ابتدا نواحی نامزد آتش با کمک مدل رنگی انتخاب و سپس با توجه به تغییرات نامنظم پیوسته شعله آتش در قاب های متواالی و پراکنده سطوح روشنایی کانال قرمز، نواحی آتش در تصاویر استخراج می شوند. آزمایش های انجام شده حاکی از آن است که روش پیشنهادی علاوه بر این که در نمونه ویدئوهای بررسی شده، قابلیت تشخیص صدرصدی وقوع آتش را در محیط های سر باز شهری دارد، زمان تشخیص را در شرایط مشابه نسبت به روش مقاله پایه ۸۷/۳۵ درصد کاهش داده است.

واژگان کلیدی: تشخیص هوشمند وقوع آتش، تصاویر ویدئویی، پردازش تصویر، زمان تشخیص

## Fire detection using video sequences in urban out-door environment

Faeze Karimi zarchi<sup>1\*</sup>, Vali Derhami<sup>2</sup>, AliMohammad Latif<sup>3</sup> & Ali Ebrahimi<sup>4</sup>

<sup>1,2,3</sup>Faculty of Computer Engineering, Yazd University, Yazd, Iran

<sup>4</sup>Manager of Information and Communication Technology Unit of Yazd Gas Company, Yazd, Iran

### Abstract

Nowadays automated early warning systems are essential in human life. One of these systems is fire detection which plays an important role in surveillance and security systems because the fire can spread quickly and cause great damage to an area. Traditional fire detection methods usually are based on smoke and temperature detectors (sensors). These methods cannot work properly in large space and out-door environments. They have high false alarm rates, and to cover the entire area, many smoke or temperature fire detectors are required, that is expensive. Due to the rapid developments in CCTV (Closed Circuit Television) surveillance system in recent years and video processing techniques, there is a big trend to replace conventional fire detection techniques with computer vision-based systems. This new technology can provide more reliable information and can be more cost-effective. The main objective of fire detection systems is high detection accuracy, low error rate and reasonable time detect. The video fire detection technology uses CCD cameras to capture images of the observed scene, which provides abundant and intuitive information for fire detection using image processing algorithms.

This paper presents an efficient fire detection system which detects fire areas by analyzing the videos that are acquired by surveillance cameras in urban out-door environment, especially in storage of Yazd Gas Company.

Proposed method uses color, spatial and temporal information that makes a good distinction between the fire

\* Corresponding author

نویسنده عهده دار مکاتبات

and objects which are similar to the fire. The purpose is achieved using multi-filter. The first filter separates red color area as a primary fire candidate. The second filter operates based on the difference between fire candidate areas in the sequence of frames. In the last filter, variation of red channel in the candidate area is computed and compared with the threshold which is updating continuously. In the experiments, the performance of these filters are evaluated separately. The proposed final system is a combination of all filters. Experimental results show that the precision of the final proposed system in urban out-door environment is 100%, and our technique achieves the average detection rate of 87.35% which outperforms other base methods.

**Keywords:** Fire Detection, Video Sequences, Image Processing, Detection Time

بر پردازش تصاویر ویدئویی، بیشتر به مؤلفه رنگ توجه می‌کردند، اما در ادامه برای کاهش خطای تشخیص، ویژگی‌های دیگری نیز از تصویر استخراج کردند. در بسیاری از پژوهش‌های انجام شده، قواعد تجربی حاصل از آستانه‌گذاری روی تصویر در فضاهای رنگی مختلف (HSV، RGB، YCbCr)، به عنوان مدل رنگی استفاده شده‌اند [3,8,10,11,13,14].

در [12]، از یک مدل آماری ساده مبتنی بر منطق فازی در فضای رنگی YCbCr، برای توصیف نواحی آتش استفاده کرده است، اما از آنجایی که این روش تنها روی تصویر مرکز داشته، دقت مورد انتظار را نداشت. از این‌رو در پژوهش‌های جدیدتر به جای استفاده از تصاویر از ویدئو بهره برده شد تا با به کارگیری تغییرات قاب به قاب آتش در چند قاب متوالی الگوی مناسبی از آتش مدل شود. Borges در سال ۲۰۱۰ با درنظر گرفتن یک توزیع گوسین برای نواحی شعله آتش در فضای RGB، یک مدل رنگی ارائه داد و سپس با استخراج ویژگی‌هایی همچون واریانس تغییرات روش‌نایابی پیکسل‌ها، تغییرات مساحت ناحیه نامزد آتش در دو قاب متوالی، پیچیدگی ناحیه موربررسی، به کمک طبقه‌بند بیزین سعی در تشخیص رخدادن آتش داشته است [7]؛ ولی فرض گوسی‌بودن توزیع نواحی شعله آتش در فضای رنگی RGB، فرض اثبات‌شده و قبل قبولی نیست که باعث کاهش دقت تشخیص و افزایش هزینه محاسباتی روش می‌شود.

برخی مقالات مانند [22] از توصیف‌کننده‌های فوریه برای تفسیر شکل نواحی آتش استفاده کرده‌اند. با توجه به اینکه توصیف‌کننده فوریه، سیگنال‌های تصویر را به صورت مجموعه‌ای از سیگنال‌های سینتوسی در نظر می‌گیرد و سیگنال‌های نواحی آتش رفتاری تصادفی و نامنظم دارند، از این‌رو به نظر می‌رسد این توصیف‌کننده‌ها کارایی لازم را نداشته باشند. بسیاری از مقالات مانند [17,28] از مدل مخلوط گوسین<sup>۱</sup> برای مدل‌کردن پیکسل‌های پس‌زمینه تصاویر استفاده کرده‌اند. به کارگیری این روش، پیچیدگی محاسباتی را به همراه دارد که موجب زمان‌برشدن تشخیص

## ۱- مقدمه

تشخیص رخدادن آتش به کمک روش‌های هوشمند و مهار زودهنگام آن، به منظور کاهش خسارت‌های فراوان جانی، مالی و زیست‌محیطی ناشی از آن، یکی از موضوعات مهم در دنیای علم و صنعت محسوب می‌شود [1]. روش‌های سنتی ارائه شده، بر مبنای اثرات ناشی از آتش مانند دود، گرمای حرارت، گازهای حاصل از احتراق، و تابش‌های نوری است که این‌گونه آشکارسازها در محیط‌های بزرگ و سریاز، کارایی لازم را ندارند؛ از این‌رو با توجه به کاربرد وسیع دوربین‌های ناظری مدارسیتۀ در سامانه‌های این‌منی محیط‌های مختلف، تمایل به استفاده از این دوربین‌ها در تشخیص وقایع ناگهانی و خطرناک همچون آتش افزایش یافته است [2,3,4,7,27,30].

علاوه بر کارایی مناسب سامانه آشکارسازی آتش مبتنی بر تصاویر ویدئویی در محیط‌های سریاز و بزرگ، مزیت عمدۀ این سامانه نسبت به سایر سامانه‌های آشکارساز سنتی، قابلیت تشخیص وقوع آتش در مراحل اولیه آتش‌سوزی است. دوربین برخلاف سایر حس‌گرهای سنتی از نوع تماس مستقیم نیست؛ بدین معنی که انواع دیگر حس‌گرهای مورد استفاده به این صورت کار می‌کنند که اثرات ناشی از آتش مانند دود یا گاز یا حرارت، باید مدت زمانی را طی کنند تا از محل واقعی وقوع آتش به محل قرارگیری آن حس‌گر برستند و حس‌گر را فعال کنند [5,6,14,27].

مزیت دیگر به کارگیری دوربین، امکان بررسی هشدار ایجاد شده و تأیید یا عدم تأیید آن، توسط ناظر انسانی است. برتری دیگر استفاده از تصاویر ویدئویی، ارائه اطلاعات جانبی و مفید در راستای تعديل آتش‌سوزی است [7,8,27,30].

به طور عمدۀ سامانه‌های تشخیص آتش مبتنی بر تصاویر ویدئویی، به منظور شناسایی خودکار آتش از ویژگی‌های شعله و دود ناشی از آتش در تصاویر، همچون رنگ، شکل، تحرک، بافت استفاده می‌کنند [4,26,28]. تاکنون روش‌های متنوعی جهت تشخیص آتش ارائه شده که در این روش‌ها از طیف گسترده‌ای از ویژگی‌های مختلف استفاده شده است. در پژوهش‌های اولیه در زمینه آشکارسازی شعله مبتنی

<sup>۱</sup> Gaussian Mixture Models (GMM)





زمان تشخیص وقوع آتش مورد بحث قرار نگرفته است. پیش‌بینی می‌شود، در بعضی از سامانه‌های ارائه شده، زمان تشخیص با استفاده از پردازنده‌های معمولی به چند ده ثانیه و حتی شاید به دقیقه برسد، که این موضوع چالشی بسیار مهم است؛ چون شناسایی آتش در مراحل آغازین شکل‌گیری آن نقش بهشت تأثیرگذاری در فرایند مهار آن خواهد داشت. ممکن است، گذشت چند ثانیه از شروع آتش‌سوزی، خسارت‌های جبران‌ناپذیر جانی و مالی در پی داشته باشد؛ از این‌رو هدف از این مقاله، ارائه یک سامانه تشخیص‌دهنده آتش با کمک پردازش تصاویر ویدئویی است که بتواند با دقت مطلوب، در زمان اندکی (حجم محاسبات پایین) وقوع آتش را تشخیص دهد. بدین منظور، پس از بررسی کار سایر پژوهش‌گران، مجموعه‌ای از چند ویژگی به عنوان ویژگی نامزد انتخاب شده‌اند و سپس کارایی هر ویژگی با توجه به دو معیار سرعت و دقت، تشخیص آتش بررسی شده است؛ درنهایت توالی ویژگی‌های رنگ، تغییرات مساحت و واریانس تغییرات سطوح روشنایی در کanal قرمز در هر ناحیه نامزد آتش، بهترین کارایی را به دنبال داشت.

از جمله ویژگی‌هایی که کارایی آنها در این پژوهش بررسی شده، عبارتند از: واریانس تغییرات روشنایی در کanal‌های رنگی مختلف و در فضاهای رنگی مختلف، ناهمواری مرزها و پیچیدگی شکل، نامتقارن بودن توزیع سطوح روشنایی و ویژگی‌های آماری همچون یکریختی از ماتریس هم‌رخداد و مؤلفه LBP که بافت تصویر را توصیف می‌کنند. به طور خاص در مورد ویژگی بافت، استفاده از ویژگی‌های توصیف‌کننده بافت تصویر، موجب افزایش پیچیدگی زمانی و کاهش سرعت تشخیص آتش شد. از آنجا که مدل نهایی ارائه شده در این پژوهش در محیط واقعی اجرا شده است، از به کارگیری این نوع ویژگی‌ها به دلیل کاهش سرعت تشخیص خودداری شده است؛ درنهایت در مدل نهایی ارائه شده، ابتدا خروجی چند مدل رنگی که تا حد امکان نواحی شعله آتش را از سایر نواحی تصویر متمایز می‌کند، از نظر زمان و دقت بررسی شده است که استفاده از روش آستانه‌گذاری تجربی در فضای YCbCr و HSV. بهترین نتیجه را به همراه داشت. در گام بعدی به منظور حذف نواحی مشابه آتش در یک آزمایش فقط از ویژگی تغییرات پیوسته مساحت ناحیه شعله آتش کمک گرفته شده است و در آزمایش نهایی برای کاهش خطاهای تشخیص نادرست از ویژگی واریانس تغییرات روشنایی کanal قرمز نواحی نامزد نیز استفاده شد.

سال ۱۳۹۸ شماره ۳ پیاپی ۴۱

می‌شود. در مرجع [17] از روش خوشبندی فازی<sup>۱</sup> در فضای رنگی LAB، به منظور شناسایی نواحی شعله آتش استفاده شده که این روش نیز به دلیل ماهیت روش خوشبندی فازی، ممکن است در برخی از موارد در تشخیص سریع وقوع آتش با تأخیر روبرو شود.

مؤلفه متحرک‌بودن نواحی شعله آتش، نیز یکی از ویژگی‌های پرکاربرد جهت تشخیص شعله آتش است که علاوه‌بر روش به کارگیری توزیع مخلوط گوسین، در بسیاری از مقالات مانند [7,16,18,19,22] به منظور استخراج نواحی متحرک از پس‌زمینه تصویر، از روش تفاضل پس‌زمینه به روز شونده، استفاده کردند. در مقاله [23] از مدل تحلیل مؤلفه‌های مستقل هندسی انباسته برای این منظور استفاده شده است؛ اما بررسی‌ها نشان می‌دهد از آنجایی که به منظور شناسایی نواحی متحرک با استفاده از هر کدام از روش‌های یادشده نیاز به چندین قاب متوالی است، در صورت استفاده از این ویژگی سرعت تشخیص کاهش می‌یابد.

ویژگی‌های مشتق شده از تحلیل بافت تصویر، اطلاعات مهمی درباره وضعیت ساختاری قسمت‌های مختلف تصویر و ارتباط آن با سایر قسمت‌ها در بردارند که در مراجع [5,17,29] جهت شناسایی نواحی آتش از این ویژگی بهره گرفتند. یکی از روش‌های آماری تحلیل بافت، روش‌های مبتنی بر ماتریس هم‌رخداد است که در مراجعی نظیر [5,17,21] از این شیوه استفاده شده است.

در [21] به کمک یک شبکه عصبی چندلایه، نواحی نامزد آتش به دو رده آتش و غیر آتش طبقه‌بندی شده‌اند. سه ویژگی مکانی و یازده ویژگی زمانی از نواحی نامزد آتش در تصویر استخراج شده و این بردار ویژگی به عنوان ورودی شبکه عصبی در نظر گرفته شده است. سامانه‌های فازی در مقالات [6,24] برای تشخیص نواحی آتش مورد استفاده قرار گرفته‌اند. در [8,25] از ماشین بردار پشتیبان برای طبقه‌بندی نواحی و تصمیم‌گیری بهره گرفته شده است. از آنجایی که تمامی روش‌های طبقه‌بندی یادشده، از روش‌های یادگیری با ناظر هستند، در صورت عدم وجود داده‌های آموزشی برچسب‌دار معتبر استفاده از این روش‌ها با مشکل روبرو خواهد بود. در [22] از مدل پنهان مارکوف برای مدل کردن رفتار زمانی نواحی آتش استفاده شده است.

در یک سامانه تشخیص آتش، پیچیدگی محاسباتی روش به کار گرفته شده به طور مستقیم با زمان تشخیص ارتباط دارد. در بسیاری از پژوهش‌های انجام‌شده [3,4,7]، موضوع

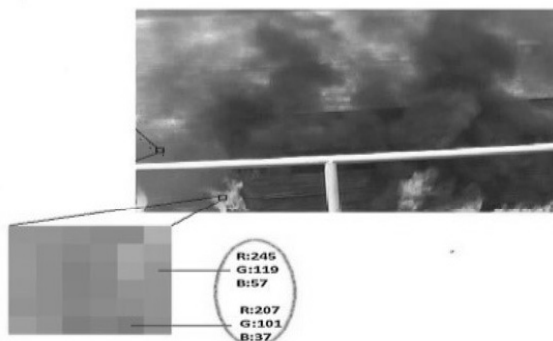
<sup>۱</sup> Fuzzy C-Means Clustering (FCM)

مدل رنگی مناسب است. که در این بخش به بررسی این مؤلفه پرداخته شده است.

با بررسی نواحی شعله آتش در تصاویر مختلف، مشاهده شده که رنگ نواحی شعله آتش به قرمزی متمایل است و با توجه به تنوع ماده در حال احتراق و شرایط نور محیط، بین زرد تا قرمز در حال تغییر است. در مرکز ناحیه آتش که درجه حرارت بالایی دارد، رنگ شعله آتش به سفیدی تمایل دارد و با حرکت به سمت لبه‌های ناحیه آتش و کم شدن درجه حرارت، در ابتدا به رنگ زرد و درنهایت به سمت قرمذشدن می‌رود. البته نوعی از آتش که رنگ شعله آن آبی رنگ است در پژوهش انجام شده مورد بحث نبوده است، چون به طور کلی در آتش سوزی‌های طبیعی دیده نمی‌شود و فقط در موقع خاص این نوع آتش اتفاق خواهد افتاد [2,5,20].

ویژگی دیگر رنگ در نواحی شعله آتش اشباع رنگ قرمز است که به عنوان یک ویژگی متمایز کننده در استخراج نواحی شعله آتش کاربرد دارد [5] البته باید توجه کرد که میزان اشباع رنگ قرمز بسته به شرایط محیط اعم از سرباز یا سربسته‌بودن، روز یا شب بودن ممکن است، تغییراتی داشته باشد [14]. مدل رنگی مورد استفاده برای سامانه تشخیص دهنده می‌تواند در فضاهای رنگی مختلف، از جمله فضای رنگی YCbCr، HSV ارائه شود.

با بررسی کانال‌های رنگی قرمز، سبز و آبی در نواحی شعله آتش به این نتیجه رسیده شده که مقدار سطح روشنایی در کانال قرمز از کانال سبز و مقدار سطح روشنایی کانال سبز از کانال آبی بیشتر است [2,5,13,14].



(شکل-۱): مقادیر رنگ RGB در ناحیه شعله آتش  
(Figure-1): RGB color values in the flame region

اما مؤلفه‌های رنگی در فضای HSV بسیار به تفسیر دستگاه بینایی انسان از تصاویر شباهت داشته. از این‌رو، در تشخیص نواحی مربوط به شعله آتش نیز کاربرد دارد. این فضا از سه مؤلفه رنگ<sup>۱</sup>، شدت اشباع<sup>۲</sup> و میزان روشنایی<sup>۳</sup> تشکیل

<sup>1</sup> Hue

<sup>2</sup> Saturation

<sup>3</sup> Value

سهم علمی این مقاله به اختصار به شرح زیر است:

الف) معرفی دو ویژگی مناسب با سربار محاسباتی پایین برای

#### تشخیص حریق:

۱- تغییرات مساحت ناحیه آتش در طول آتش‌سوزی: در لحظات اولیه شروع آتش‌سوزی، شعله آتش مدام در حال سوسuzدن است و مساحت هر ناحیه شعله آتش در حال کم یا زیاد شدن است، از این‌رو از ویژگی تغییرات نرمال‌شده مساحت در پنج قاب متوالی به جای رشد بدیری استفاده شده است. این موضوع باعث شده دقت تشخیص در روش پیشنهادی نسبت به مقاله پایه افزایش یابد، که مقایسه نتایج در بخش (۴) از مقاله آورده شده است.

۲- واریانس تغییرات روشنایی در کانال قرمز به عنوان یک ویژگی متمایز کننده نواحی آتش از سایر نواحی مشابه: ارائه روش فیلترینگ نواحی نامزد آتش با توجه به این ویژگی با به کار گیری یک حد استانداره به روزشونده با در نظر گرفتن تصویر ورودی در هر لحظه.

ب) ارائه بهترین روش تشخیص با توجه به ترتیب به کار گیری ویژگی‌های معرفی شده. گفتنی است ترتیب اعمال مراحل دو و سه الگوریتم، تأثیر قابل توجهی بر روی نتایج پژوهش خواهد داشت.

پ) ارزیابی کارایی چند ساختار طبقه‌بندی هوشمند در تشخیص آتش بر حسب معیارهای دقت و زمان تشخیص. کارایی ساختارهای تصمیم‌گیری شبکه بیزین و شبکه عصبی مصنوعی بررسی شد که نتایج دلخواه از نظر دقت و زمان تشخیص را نداشتند. دقت در این ساختارها مطلوب نبود؛ چون داده‌های استخراج شده به خصوص در دوره غیر آتش نمایندگی خوبی از انواع داده‌های این رده در واقعیت نداشتند و از آن جایی که داده‌های بر چسب‌دار جهانی برای مسئله تشخیص حریق در دسترس نبود، از این‌رو در این پژوهش از روشی استفاده شد که نیاز به داده‌های آموزشی بر چسب دار نباشد.

ت) پیاده‌سازی عملی روش پیشنهادی و تصدیق امکان اجرای برخط آن در یک سامانه رایانه‌ای معمولی در محیط واقعی.

## ۲- مفاهیم پایه

شاخص رنگ یکی از مهم‌ترین ویژگی‌های متمایز کننده نواحی آتش از سایر نواحی تصویر است؛ از این‌رو یکی از مؤلفه‌های موردنیاز سامانه تشخیص دهنده آتش مبتنی بر تصویر، یک



شکل (۲)، روند نمای روش پیشنهادی را نشان می‌دهد. در کل روش پیشنهادی دارای سه مرحله عمده است که در ادامه بخش، جزئیات هر مرحله بیان می‌شود.

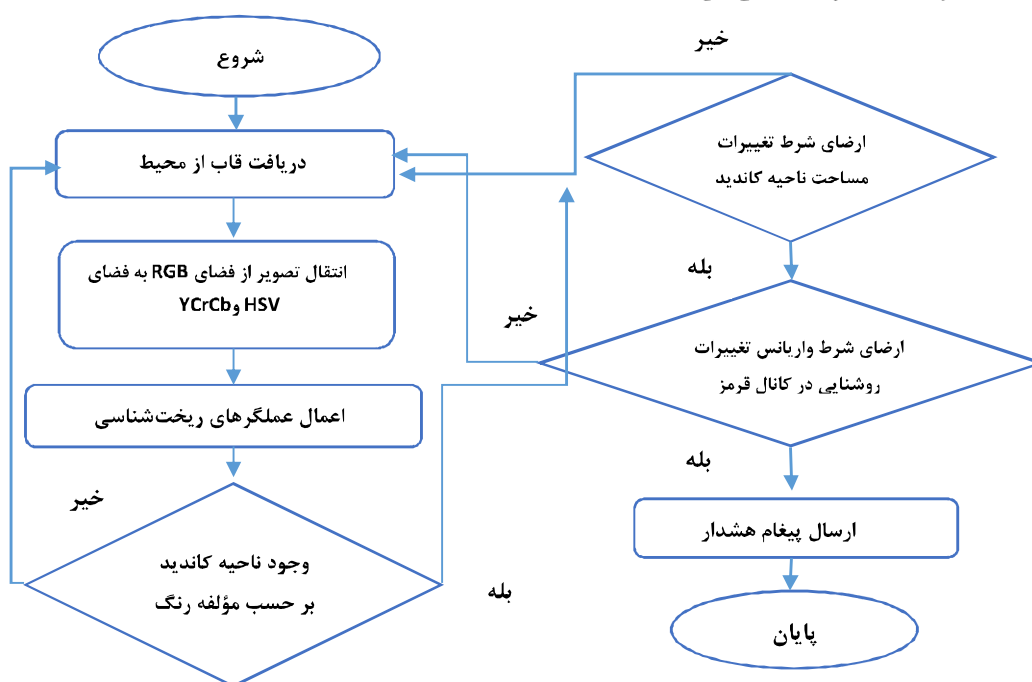
### ۳-۱- مدل رنگ

ناحیه شعله آتش مشخصات رنگ متمایزکننده‌ای دارد، ازین‌رو نخستین مرحله روش پیشنهادی بدین صورت است که با اعمال قواعد تجربی حاصل از آستانه‌گذاری مطابق با رابطه (۱)، هر تصویر ورودی به یک تصویر دودویی تبدیل می‌شود. نواحی‌ای که مقادیر روشنایی آن‌ها، یک باقی می‌ماند، نواحی نامزد شعله آتش هستند و سایر نواحی در مراحل بعدی پردازش نادیده گرفته می‌شوند. مقدار  $(x,y)$ . $H(x,y)$  و  $V(x,y)$  بهتریب به مؤلفه‌های رنگ، شدت اشباع و روشنایی  $Cb(x,y)$  در فضای رنگی HSV اشاره می‌کنند. مقادیر  $(x,y)$ . $Y(x,y)$  و  $Cr(x,y)$  نیز مؤلفه‌های روشنایی و رنگ آبی و قرمز در فضای رنگی YCbCr را نشان می‌دهند؛ درنهایت خروجی مرحله نخست از روش پیشنهادی یک تصویر دودویی است که پیکسل‌های نامزد ناحیه آتش مقدار  $(x,y)$ . $f(x,y)$ ، برابر یک و سایر پیکسل‌ها مقدار  $(x,y)$ . $f(x,y)$ ، مساوی با صفر دارند.

شده است که دو مؤلفه رنگ و شدت اشباع به طور عمیقی در درک انسان از تصاویر رنگی مؤثر هستند [۶,۱۳,۱۴,۱۵]. فضای رنگ YCbCr، به طور عمده در تحلیل تصاویر حاصل از ویدئو کاربرد دارد. این فضای رنگ از مؤلفه Y که نشان‌دهنده پارامتر روشنایی<sup>۱</sup>، مؤلفه Cb و Cr که به ترتیب نشان‌دهنده رنگ‌های قرمز و آبی هستند، تشکیل شده است. فضای رنگی YCbCr نیز چون پارامترهای رنگ و روشنایی را به طور جداگانه بررسی می‌کند، بسیار به دستگاه سنجش رنگ بینایی انسان نزدیک است [۲۰].

### ۳- روش پیشنهادی

در این پژوهش فرض شده است که تصاویر ویدئویی از دوربین‌هایی که در محیط به صورت ثابت مستقر شده‌اند، دریافت می‌شود. روال کار بدین گونه است که پس از دریافت، تصویر به صورت برخط مورد پردازش قرار می‌گیرد. بدین صورت که ابتدا توسط یک مدل رنگی که در فضاهای رنگی HSV و YCrCb بنا شده است، نواحی از تصویر به عنوان نامزد ناحیه آتش انتخاب می‌شوند. در گام بعدی نواحی نامزد از نظر تغییرات مساحت در چند قاب متواالی بررسی می‌شوند و درنهایت نواحی باقی‌مانده‌ای که، واریانس تغییرات روشنایی ناحیه قرمز آنها از یک حد آستانه تجربی به روزشونده، بزرگ‌تر باشد به عنوان شعله آتش شناسایی می‌شوند.



<sup>۱</sup> Luminance

چنانچه تغییرات مساحت ناحیه نامزد از سیزده درصد مساحت کل آن ناحیه بیشتر باشد، به عنوان نامزد ناحیه آتش باقی می‌ماند؛ در غیر این صورت ناحیه مورد نظر از فهرست نواحی نامزد، حذف می‌شود.

در مرحله بعد، به منظور افزایش دقت تشخیص، روند تغییر مساحت یادشده برای پنج قاب متوالی تکرار شده است و اگر شرط تغییرات مساحت دست‌کم به میزان سیزده درصد مساحت ناحیه نامزد در پنج قاب متوالی برقار باشد، آن ناحیه به عنوان آتش تشخیص داده می‌شود. مقادیر سیزده درصد و پنج مرتبه تکرار به صورت تجربی به دست آمدند. شکل (۴) روند نمایی مرحله دوم تشخیص را نمایش می‌دهد. گفتنی است که حد آستانه سیزده درصد با توجه به مقاله پایه و طبق آزمایش‌های انجام‌شده به صورت تجربی انتخاب شده است. با توجه به این که روش پیشنهادی در محیط‌های سریاز شهری قابلیت تشخیص صدرصدی و قوع آتش را در ویدئوهای شامل آتش داشته، انتخاب حد آستانه در دو موضوع تأثیرگذار بوده است. موضوع نخست زمان تشخیص آتش در ویدئوهای شامل آتش (نخستین شماره قاب تشخیص داده شده) و موضوع دوم تعداد قاب‌هایی که در ویدئوهای فاقد آتش، به استیاه آتش تشخیص داده شده‌اند؛ بنابراین در اینجا با یک مسئله دو هدفه روبرو بوده‌ایم. هدف نخست کاهش زمان تشخیص در رده آتش و هدف دوم کاهش خطای تشخیص در رده غیر آتش است. شکل (۵) نتایج اجرای الگوریتم ارائه شده با درنظر گرفتن حد آستانه از سه تا ۲۱ با توجه به دو هدف بیان شده در آزمایش‌های انجام‌شده را نمایش می‌دهد. محور افقی مقادیر مختلف حد آستانه و محور عمودی، برای ویدئوهای شامل آتش، زمان نخستین تشخیص و برای ویدئوهای فاقد آتش، درصد تشخیص نادرست را به صورت مقادیر نرمال شده بین صفر و یک نشان می‌دهد. همان‌طور که در شکل (۵) مشاهده می‌شود، حد آستانه سیزده، در مجموع دو رده ویدئو شامل و فاقد آتش بهترین کارایی را داشته است.

مقادیر حدود آستانه استفاده شده در مراحل یک و دوی روش پیشنهادی، با بررسی چند ویدئو که به عنوان ویدئوهای مرحله آموزش، در نظر گرفته شده، حاصل شده‌اند. در نهایت در هنگام ارزیابی کارایی سامانه با ویدئوهایی که در بخش چهارم به آن پرداخته می‌شود، تمامی حدود آستانه به صورت ثابت برای کلیه ویدئوهای در نظر گرفته می‌شود.

$$f(x,y) = \begin{cases} 1 & \text{if } (0.02 < H(x,y) < 0.4) \text{ and } \\ & (0.2 < S(x,y) < 1) \text{ and } \\ & (0.9 < V(x,y) < 1) \text{ and } \\ & (Y(x,y) \geq Y_{mean}) \text{ and } \\ & (Cb(x,y) \leq Cb_{mean} + 10) \text{ and } \\ & (Cr(x,y) \geq Cr_{mean} - 10) \text{ and } \\ 0 & \text{Otherwise} \end{cases} \quad (1)$$

از آن جایی که رنگ نواحی شعله آتش بین سفید و قرمز در حال تغییر است و پیکسل‌های آتش در رنگ قرمز به حالت اشباع می‌رسند، سعی شده است با بهره‌گرفتن از فضای رنگی HSV که به خوبی مؤلفه روشنایی و اشباع را از هم متمایز می‌کند؛ این خصیصه را مدل کرد و فضای رنگی YCbCr بهترین فضا، برای مدل کردن مقدار بالای مؤلفه‌های روشنایی و رنگ قرمز در ناحیه شعله آتش است. خروجی این مرحله به کمک عمل گرهای ریخت‌شناسی، هم‌چون بستن<sup>۱</sup>، بهبود پیدا می‌کند تا نقاط ریز نزدیک به هم، به صورت نواحی یک پارچه در نظر گرفته شوند.

گفتنی است که برای به دست آوردن یک مدل رنگی مناسب، کارایی مدل خوشبندی تصویر بر اساس مؤلفه رنگ در فضای رنگی LAB با تعداد خوش سه، و نیز مدل توزیع گوسین در فضای رنگی RGB پیاده‌سازی شد؛ اما کارایی این دو مدل رنگی از نظر دقت و سرعت تشخیص نسبت به مدل به کار گرفته شده، ضعیفتر بود. شکل (۳) نتایج سه مدل رنگی بررسی شده بر روی چند نمونه تصویر شامل آتش نمایش می‌دهد. تصاویر موجود در شکل (۳) به طور واضح غلط‌بودن فرض گوسی‌بودن توزیع رنگ را در نواحی شعله آتش نمایش می‌دهد.

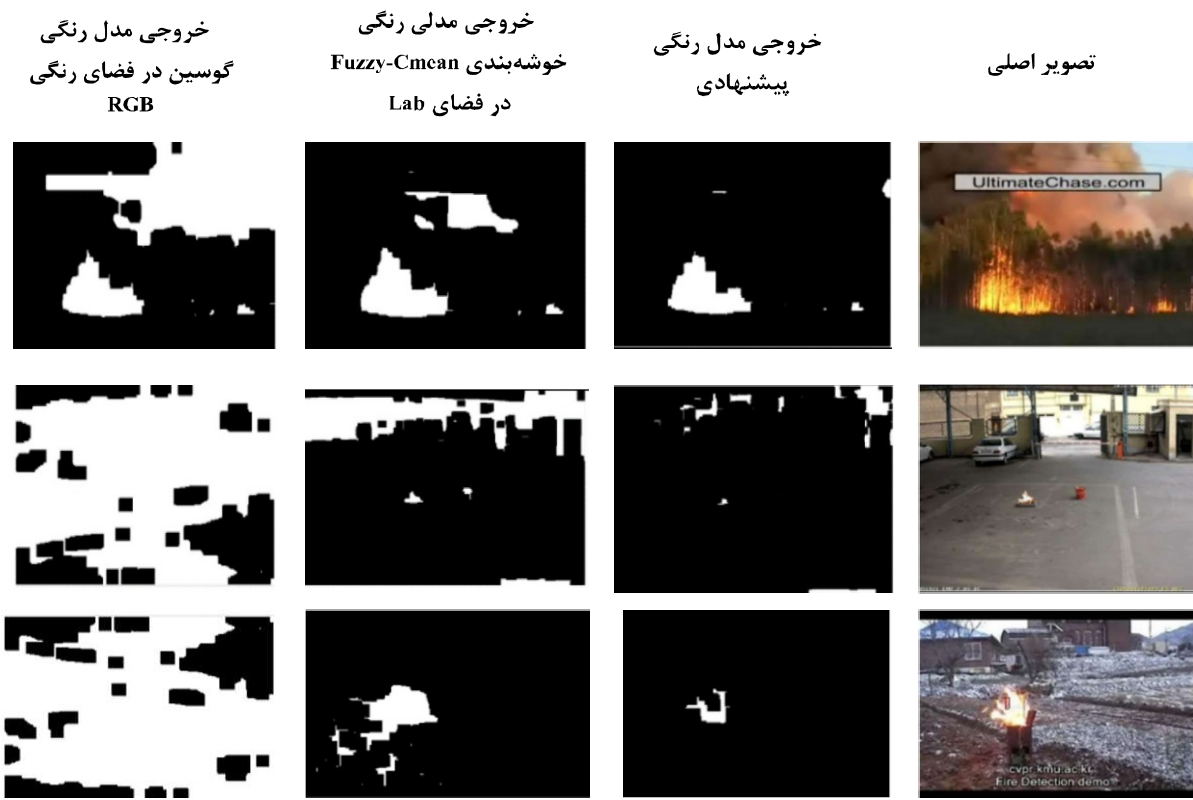
### ۳-۲- تغییرات مساحت ناحیه نامزد شعله

#### آتش در چند قاب متوالی

در این مرحله برای حذف نواحی غیر آتش که رنگی مشابه شعله آتش دارند، از ویژگی تغییرات پیوسته شعله آتش استفاده شده؛ زیرا مساحت یک ناحیه متناظر با شعله آتش، همواره به طور نامنظم در حال تغییر است؛ در حالی که تغییرات مساحت سایر نواحی تصویر، نسبت به شعله آتش کمتر است. برای هر ناحیه نامزد از تصویر، مساحت محاسبه و سپس در قاب دریافتی بعدی پس از عبور از مراحل قبلی، مساحت نواحی نامزد محاسبه می‌شود. نواحی متناظر از دو قاب، با بهره‌گرفتن از مرکز ثقل نواحی انتخاب می‌شوند،

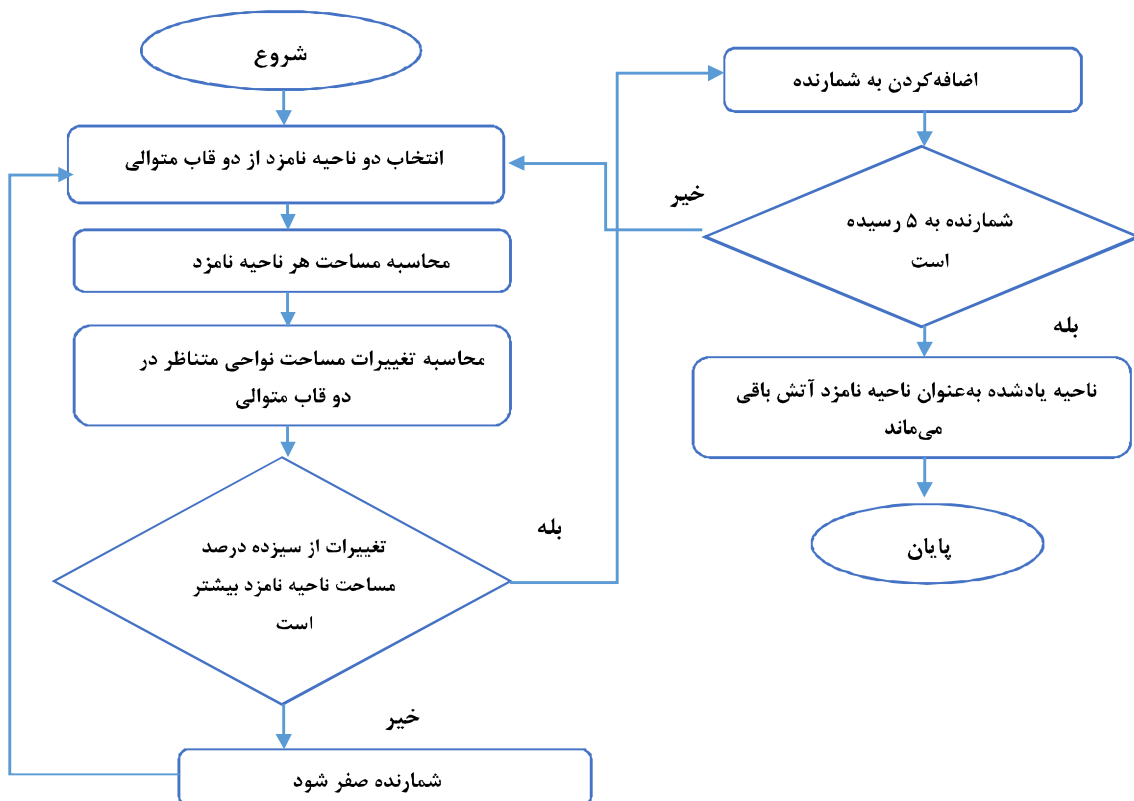
<sup>۱</sup> Closing





(شکل-۳): مقایسه کارایی سه مدل رنگی بررسی شده

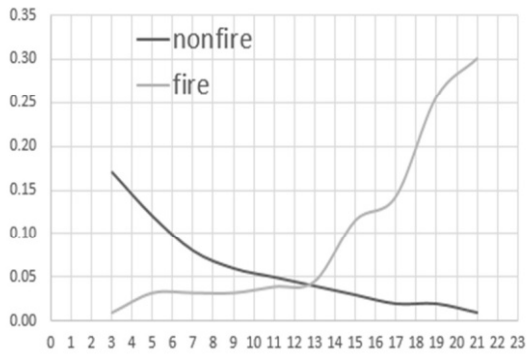
(Figure-3): Comparison of the performance of the three color models that were investigated



(شکل-۴): روند نمای مرحله دوم روش پیشنهادی

(Figure-4): Flowchart of the second stage of the proposed method

#### تغییر حد آستانه



(شکل-۵): بررسی حد آستانه‌های مختلف  
(Figure-5): Examination of different thresholds

### ۳-۳-واریانس تغییرات روشنایی در کanal رنگ قرمز در نواحی شعله آتش

در این مرحله از روش پیشنهادی، برای کاهش هشدارهای غلط و افزایش دقت سامانه از ویدئویی تغییرات پیوسته روشنایی پیکسل‌های ناحیه آتش در کanal رنگ قرمز استفاده شده است. از آنجا که در ناحیه شعله آتش واریانس تغییرات روشنایی زیاد است، هر ناحیه نامزد باقیمانده از مراحل قبل تنها در صورتی پس از مرحله سوم همچنان نامزد ناحیه آتش باقی می‌ماند که واریانس تغییرات روشنایی کanal قرمز آن ناحیه از حد آستانه تعیین شده بیشتر باشد. حد آستانه برای هر تصویر ورودی با توجه به میانگین تغییرات روشنایی کanal قرمز تمام پیکسل‌های همان تصویر، به روز می‌شود.

### ۴-نتایج و پیاده‌سازی

روال ارزیابی بدین صورت است که برای ویدئوهایی که شامل شعله آتش هستند، ابتدا قابلیت تشخیص یا عدم تشخیص آتش بررسی شده است، چنانچه تشخیص انجام بگیرد، مدت زمان سپری شده از شروع آتش تا نخستین تشخیص و هم‌چنین شماره قاب نخستین تشخیص محاسبه شده است. از آنجایی که سامانه ارائه شده باید به صورت برخط کار کند، همواره نخستین تشخیص بسیار مهم است تا اقدامات لازم صورت گیرد. در ادامه نتایج حاصل از سه رویکرد بیان شده است، جزئیات رویکردهای بررسی شده، بدین شرح است:

۱- رویکرد نخست: روش ارائه شده توسط سی‌برمانگست در سال ۲۰۱۴، که در جدول‌های (۱) و (۳) با نام «روش یک» معرفی می‌شود.

۲- رویکرد دوم: روش پیشنهادی این مقاله با این تفاوت که مرحله سوم (ویدئویی مکانی) در نظر گرفته نشده است که در جدول‌های (۱) و (۳) با نام «روش دو» شناخته می‌شود.

فصل پنجم



که زمان قابل قبولی نیست. با تغییرات اعمال شده روش دو و درنهایت روش سه ارائه شدند که دقت و زمان تشخیص به مراتب بهتری نسبت به روش یک دارند. روش‌های دو و سه، تنها قادر به تشخیص وقوع آتش در ویدئوی مربوط به سطر هشت نشده‌اند. ویدئوی مربوط به سطر هشت، یک ویدئوی آتش‌سوزی در جنگل است که در آن اثرات ناشی از آتش یعنی دود و شعله به صورت همزمان وجود دارد. حضور قابل توجه دود در بین شعله‌های آتش یک دلیل عدم توانایی تشخیص آتش در روش پیشنهادی برای این ویدئو است.

۳- رویکرد سوم: روش پیشنهادی این مقاله، که در جدول‌های (۱) و (۳) با نام «روش سه» شناسایی می‌شود.

#### ۴-۱- نتایج حاصله در رده آتش

جدول (۱)، اطلاعات مربوط به تشخیص یا عدم تشخیص، مدت زمان تشخیص و شماره قاب نخستین تشخیص را برای هفده ویدئوی مختلف حاوی شعله آتش که اطلاعات آن‌ها در جدول (۷) آمده است، ارائه می‌کند. در مقاله [۱۰] زمان تشخیص روش به طور متوسط تا دو دقیقه گزارش شده است

(جدول-۱): نتایج حاصل از سه رویکرد بر روی ویدئوهای شامل شعله آتش

(Table-1): The results of the three approaches on videos that contain flame

شماره	نام ویدئو	قابلیت تشخیص درست										میانگین زمان اولین تشخیص (ثانیه)	شماره قاب اولین تشخیص
		روش دو	روش سه	روش یک	روش دو	روش سه	روش یک	روش دو	روش سه	روش یک	روش دو		
۰.۲۴	Fire_demo1.avi	۰.۲۴	-	۱	۱	-	✓	✓	✗	Fire_demo1.avi	۱	۰.۲۴	۰.۲۴
۰.۷۲	Fire_demo2.avi	۰.۷۳	۷۹.۰۴	۵	۵	۳۲۲	✓	✓	✓	Fire_demo2.avi	۲	۰.۷۲	۰.۷۳
۰.۲۳	Fire_demo3.avi	۰.۲۴	-	۱	۱	-	✓	✓	✗	Fire_demo3.avi	۳	۰.۲۳	۰.۲۴
۰.۳۴	Fire_demo4.avi	۰.۳۶	۲۴.۰۲۹	۲	۲	۲۲۹	✓	✓	✓	Fire_demo4.avi	۴	۰.۳۴	۰.۳۶
۳.۲۰	Fire_demo5.avi	۰.۹۶	۱۱.۷۲۱	۳۲	۱۰	۱۱۰	✓	✓	✓	Fire_demo5.avi	۵	۳.۲۰	۰.۹۶
۷.۴۷	Fire_demo6.avi	۱.۴۲	۶.۲۶	۶۸	۱۵	۷۳	✓	✓	✓	Fire_demo6.avi	۶	۷.۴۷	۱.۴۲
۰.۷۶	Forest1.avi	۰.۷۶	-	۵	۵	-	✓	✓	✗	Forest1.avi	۷	۰.۷۶	۰.۷۶
-	Forest2.avi	-	-	-	-	-	✗	✗	✗	Forest2.avi	۸	-	-
۰.۴۵	Fire5.avi	۰.۴۵	-	۱	۱	-	✓	✓	✗	Fire5.avi	۹	۰.۴۵	۰.۴۵
۸.۲۹	outdoor01.avi	۸.۳۱	۵۹.۱۵	۱۱۳	۱۱۳	۸۸۷	✓	✓	✓	outdoor01.avi	۱۰	۸.۲۹	۸.۳۱
۰.۸۳	out_night_fire.avi	۰.۸۳	۲.۳۳	۵	۵	۱۴	✓	✓	✓	out_night_fire.avi	۱۱	۰.۸۳	۰.۸۳
۱.۷۹	Fire1_gaz.avi	۱.۸۰	-	۵	۵	-	✓	✓	✗	Fire1_gaz.avi	۱۲	۱.۷۹	۱.۸۰
۱.۸۸	Fire2_gaz.avi	۱.۸۸	-	۵	۵	-	✓	✓	✗	Fire2_gaz.avi	۱۳	۱.۸۸	۱.۸۸
۱.۰۰	Fire3_gaz.avi	۱.۰۱	-	۲	۲	-	✓	✓	✗	Fire3_gaz.avi	۱۴	۱.۰۰	۱.۰۱
۲.۳۰	Fire4_gaz.avi	۲.۳۳	-	۶	۶	-	✓	✓	✗	Fire4_gaz.avi	۱۵	۲.۳۰	۲.۳۳
۰.۹۲	Fire5_gaz.avi	۰.۹۱	-	۲	۲	-	✓	✓	✗	Fire5_gaz.avi	۱۶	۰.۹۲	۰.۹۱
۲.۲۰	Fire6_gaz.avi	۲.۲۲	-	۶	۶	-	✓	✓	✗	Fire6_gaz.avi	۱۷	۲.۲۰	۲.۲۲

(جدول-۲): خلاصه نتایج روش پیشنهادی در کلاس آتش

(Table-2): Summary of Results of Proposed Method in Fire Class

ویدئو شماره																
قابلیت تشخیص درست																
شماره اولین قاب																
✓	✓	✓	✓	✓	✓	✓	✓	✓	✗	✓	✓	✓	✓	✓	✓	✓
6	2	6	2	5	5	5	113	1	-	5	68	22	2	1	5	1

آتش به اختصار نمایش می‌دهد.

#### ۴-۲- نتایج حاصله در کلاس غیر آتش

جزئیات مربوط به تشخیص وقوع آتش و عدم تشخیص، تعداد قاب‌هایی از هر ویدئو که در یک ویدئوی فاقد آتش که در آن، رخداد آتش به استباه شناسایی شده در جدول (۳) آمده

در ضمن علت مهم دیگر این عدم توانایی تشخیص به پارامترهای آستانه‌گذاری تجربی مدل رنگی استفاده شده برمی‌گردد، چون طبق آزمایش‌های صورت گرفته حدود آستانه به گونه‌ای تنظیم شده‌اند که برای آتش‌سوزی‌های محیط‌های سریع شهری کارایی مطلوبی داشته باشند؛ در ضمن جدول (۲) نتایج اجرای روش پیشنهادی را بر روی هفده ویدئو شامل

رده آتش دارد که چنین خطایی در یک سامانه تشخیص آتش مطلوب نیست. به عبارتی در روش پیشنهادی با صفر کردن، تشخیص منفی غلط<sup>۱</sup>، درصد کمی تشخیص مثبت غلط پذیرفته شده است. البته، برای حل این مشکل نیز تعداد تشخیص‌ها<sup>۲</sup> در طول یک بازه زمانی مشخص می‌تواند معیار وقوع یا عدم وقوع آتش باشد. جدول (۴) نتایج روش پیشنهادی را بر روی هفده ویدئوی فاقد آتش با اختصار نمایش می‌دهد.

#### ۴-۳- چند نمونه خروجی

شکل (۶) خروجی حاصل از سه مرحله روش پیشنهادی (روش سه) را برای قاب‌هایی از چند ویدئو حاوی شعله آتش نشان می‌دهد. ستون الف در شکل (۶) یک قاب از ویدئوی ورودی را نمایش می‌دهد و ستون‌های ب، ج و د به ترتیب خروجی مراحل اول تا سوم روش پیشنهادی بر روی قاب نمایش داده شده در ستون الف را به تصویر می‌کشد. شکل (۷) خروجی حاصل از اجرای سه مرحله روش پیشنهادی را بر روی قاب‌های چند ویدئوی فاقد شعله آتش نمایش می‌دهد. مقایسه تصاویر موجود در شکل‌های (۶) و (۷) به خوبی بیانگر تأثیر هر کدام از مراحل روش پیشنهادی بر روی دقت روش ارائه شده است.

است. نتایج حاصل از پیاده‌سازی سه رویکرد یادشده در بخش قبل بر روی هفده ویدئوی فاقد شعله آتش و دارای اشیای مشابه آتش در این جدول بیان شده است.

همان‌طور که جدول (۳) نشان می‌دهد، روش یک بر روی ویدئوهای آزمایش شده، خطایی در رده غیر آتش نداشته است. در روش پیشنهادی (روش سه) تنها در برخی از قاب‌های سه ویدئوی مربوط به سطرهای پنج، یازده و دوازده جدول (۳) از بین هفده ویدئو آزمایش شده فاقد آتش، اعلام تشخیص آتش کرده است. تأثیر ویژگی واریانس تغییرات روشنایی در کanal Red، باعث شده که در این سه ویدئو نیز به‌طور کلی درصد قاب‌هایی که در آن‌ها آتش شناسایی شده است، نسبت به روش دوم کمتر شود. علاوه‌بر این موضوع، ویژگی مکانی استفاده شده، موجب بهبود قابل توجه روش پیشنهادی نسبت به روش دو، شده است. بدین صورت که در چند ویدئوی که روش دو باشتباه وقوع آتش را تشخیص داده بوده، روش پیشنهادی به درستی عدم وقوع آتش را پیش‌بینی کرده است.

از آنجایی که دقت در رده آتش در یک سامانه تشخیص بسیار مهم است، در روش پیشنهادی پارامترها به‌گونه‌ای تنظیم شده است که حساسیت در تشخیص درست آتش در رده آتش بالا باشد؛ از این‌رو، این چند نمونه تشخیص نادرست در رده غیر آتش رخ داده است؛ در حالی که روش یک با کم‌کردن خطای تشخیص در رده غیر آتش، خطای زیادی در

(جدول-۳): نتایج حاصل از سه رویکرد بر روی ویدئوهای فاقد شعله آتش

(Table-3): The results of the three approaches on videos without flame

نسبت تعداد قاب تشخیص داده شده به تعداد کل قاب ویدئو بر حسب درصد			تعداد تشخیص آتش			قابلیت تشخیص درست			نام ویدئو	شماره
روش سه	روش دو	روش یک	روش سه	روش دو	روش یک	روش سه	روش دو	روش یک		
•	•	•	-	-	-	✓	✓	✓	non_fire_Demo0.avi	۱
•	•	•	-	-	-	✓	✓	✓	non_fire_Demo1.avi	۲
•	15.3%	•	-	60	-	✓	✗	✓	non_fire_Demo2.avi	۳
•	3.6%	•	-	12	-	✓	✗	✓	non_fire_Demo3.avi	۴
12.1%	19.8%	•	36	59	-	✗	✗	✓	non_fire_Demo4.avi	۵
•	•	•	-	-	-	✓	✓	✓	non_fire_Demo5.avi	۶
•	•	•	-	-	-	✓	✓	✓	non_fire2.avi	۷
•	•	•	-	-	-	✓	✓	✓	nonfire1_Gaz.avi	۸
•	•	•	-	-	-	✓	✓	✓	nonfire2_Gaz.avi	۹
•	•	•	-	-	-	✓	✓	✓	nonfire3_Gaz.avi	۱۰

<sup>۱</sup> False Negative

<sup>۲</sup> False Positive

(جدول-۴): خلاصه نتایج روش پیشنهادی در کلاس غیر آتش  
 (Table-4): Summary of Results of Proposed Method in Non-Fire Class

<b>3.75%</b>	<b>17.5%</b>	♦	3	14	-	✗	✗	✓	nonfire4_Gaz.avi	11
<b>12.27%</b>	<b>23.18%</b>	♦	27	15	-	✗	✗	✓	nonfire5_Gaz.avi	12
♦	♦	♦	-	-	-	✓	✓	✓	nonfire6_Gaz.avi	13
♦	♦	♦	-	-	-	✓	✓	✓	nonfire7_Gaz.avi	14
♦	♦	♦	-	-	-	✓	✓	✓	nonfire8_Gaz.avi	15
♦	♦	♦	-	-	-	✓	✓	✓	nonfire9_gaz.avi	16
♦	♦	♦	-	-	-	✓	✓	✓	nonfire10_gaz.avi	17

(جدول-۵): پارامترهای ارزیابی کارایی روش پیشنهادی  
 (Table-5): Performance evaluation parameters of the proposed method

	دقت در ویدئوهای شامل آتش سریاژ شهری شامل آتش(قابلیت تشخیص)
94%	دقت در تمام ویدئوهای شامل آتش(قابلیت تشخیص)
98%	دقت در تمام ویدئوهای فاقد آتش
96%	دقت روش پیشنهادی در تمام ویدئوها در هر دو ردۀ آتش و غیر آتش
98%	صحت
94%	میزان یادآوری

همچنین پارامترهای دقت<sup>۱</sup>، صحّت<sup>۲</sup>، میزان یادآوری<sup>۳</sup> برای روش پیشنهادی محاسبه و در جدول (۵) گزارش شده است. بررسی این پارامترها نشان‌گر این موضوع است که روش پیشنهادی در هر دو رده آتش و غیر آتش کارایی مطلوبی داشته است؛ علاوه‌بر این جدول (۶) بهبود سرعت عملکرد روش پیشنهادی به روش مقاله پایه را نمایش می‌دهد. طبق این جدول، روش پیشنهادی متوسط زمان تشخیص نخستین قاب آتش در ویدئوهای شامل آتش را  $83/94\%$  بهبود داده است.

۵- نتیجہ گیری

در این مقاله یک سامانه هوشمند تشخیص آتش با استفاده از تصاویر ویدئویی ارائه شد. تمرکز بر آن بود که علاوه بر دقت، هزینه محاسباتی پایینی (زمان تشخیص کوتاه) نیز داشته باشد. سامانه پیشنهادی با تحلیل تصویر در فضاهای رنگی HSV و YCbCr، قابهای ورودی را به تصاویر دودویی تبدیل و سپس با بهره‌گیری از ویژگی تغییرات و حرکات پیوسته نواحی شعله آتش و نیز پراکندگی سطوح روشنایی در کanal قرمز فضای RGB در مورد هر ناحیه نامزد آتش، تصمیم‌گیری می‌کند. سعی شده، ویژگی‌های به کاررفته در روش پیشنهادی ضمن اینکه قابلیت تفکیک کنندگی بالایی دارد، زمان پردازش و استخراج بالایی نیز داشته باشند. پارامترهای سامانه به گونه‌ای تنظیم شد که بهترین عملکرد را برای محیط‌های سریاز شهری با تمرکز روی انبار شرکت گاز داشته باشد. آزمایش‌های انجام‌شده نشان گر دقت بالای روش پیشنهادی در تشخیص آتش سوزی در محیط‌های سریاز شهری، ضمن زمان تشخیص بسیار پایین است. به طور کلی مزایای روش ارائه شده در این مقاله، عبارتند از:

- معروفی و استفاده از ویژگی‌های مکانی و زمانی کارا با سربار
  - محاسباتی پایین؛
  - سرعت و دقت بالای روش ارائه شده بر روی ویدئوهای
  - محیط سرباز شهری؛
  - نتایج قابل قبول و دقت صدرصدی تشخیص با اجرای روی رایانه‌ای معمولی؛
  - بررسی کارایی چند ویژگی مکانی و زمانی و همچنین ساختارهای تضمیم‌گیری شبکه عصبی و شبکه بیزین

## Accuracy

## <sup>2</sup> Precision

### <sup>3</sup> Recall

(جدول-۶): مقایسه زمان تشخیص در ویدئوهای شامل آتش

(Table-6): Comparison of detection time in videos contain fire

V17	V16	V15	V14	V13	V12	V11	V10	V9	V8	V7	V6	V5	V4	V3	V2	V1	ویدئو شماره
-	-	-	-	-	-	14	887	-	-	-	73	110	229	-	322	-	اولین قاب تشخیص داد شده در روش مقاله پایه
6	2	6	2	5	5	5	113	1	-	5	68	32	2	51	1	1	اولین قاب تشخیص داده شده در روش پیشنهادی
100	100	100	100	100	100	64	87	100	0	100	6.9	71	99	100	100	100	درصد بهبود زمان تشخیص
83.94																	میانگین بهبود زمان تشخیص

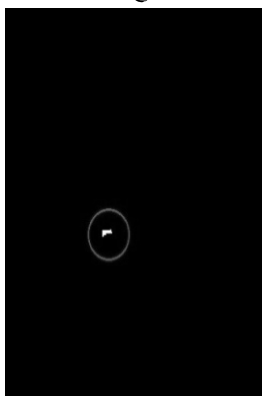
الف



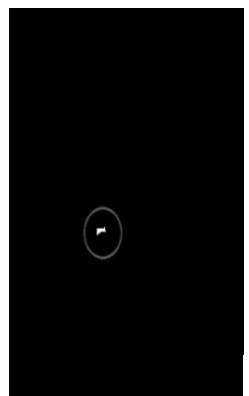
ب



ج



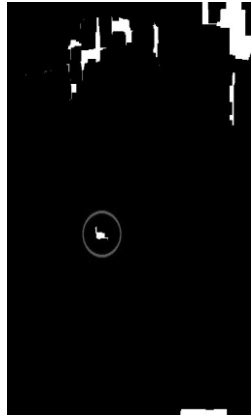
د



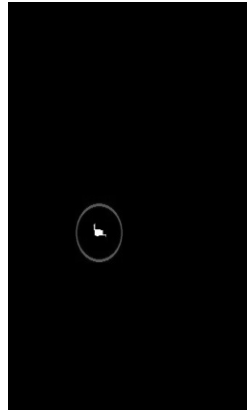
تصویر اصلی



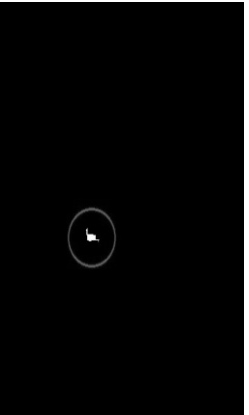
خروجی مرحله نخست



خروجی مرحله دوم



خروجی مرحله سوم

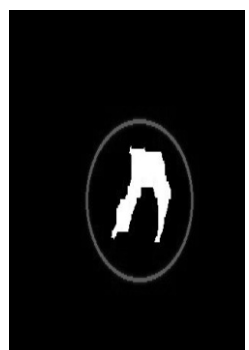
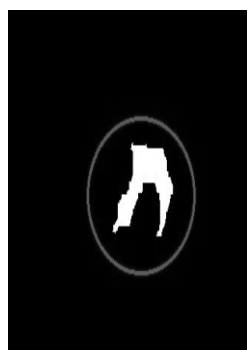
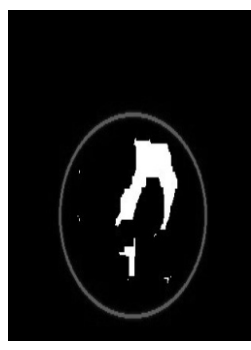


تصویر اصلی

خروجی مرحله نخست

خروجی مرحله دوم

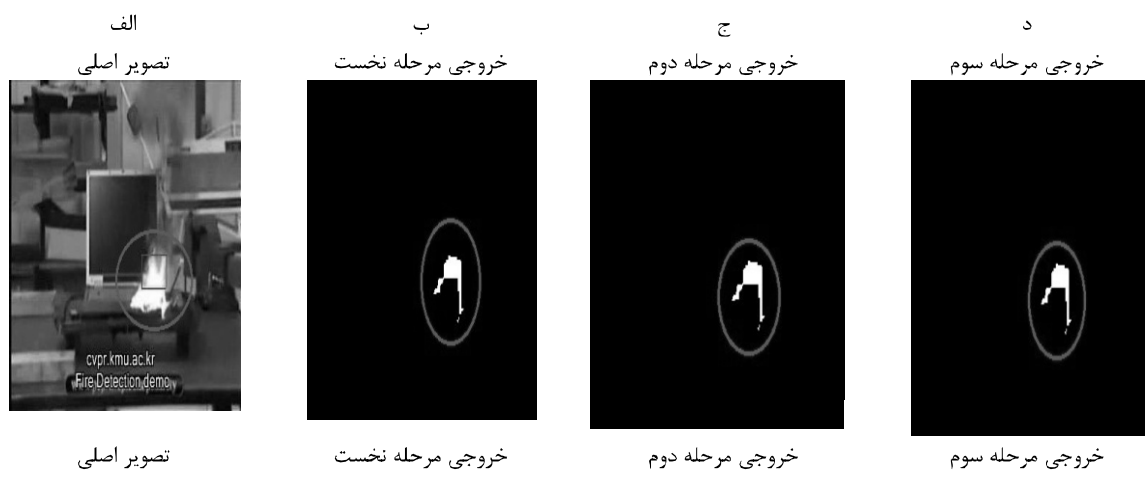
خروجی مرحله سوم



فصل پنجم

سال ۱۳۹۸ شماره ۳ پیاپی ۴۱

پژوهش و راهنمایی  
۷۲



(شکل-۶): خروجی اجرای روش پیشنهادی روی چند قاب شامل شعله آتش  
(Figure-6): Output of the proposed method on several frames that contain flame

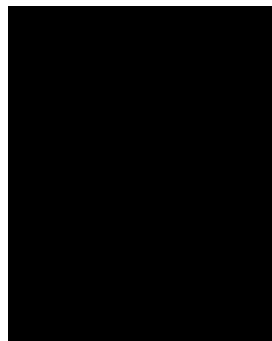


الف



تصویر اصلی

ب



خروجی مرحله نخست

ج



خروجی مرحله دوم

د



خروجی مرحله سوم

(شکل-۷): خروجی اجرای روش پیشنهادی روی چند قاب فاقد شعله آتش  
(Figure-7): Output of the proposed method on multiple frames without flame

برای آزمایش کارایی روش پیشنهادی بر روی ویدئوهای شرکت گاز، با توجه به این که دوربین‌های نظارتی در محیط مدنظر از قبل نصب بود، چند ویدئو در شرایط مختلف از این دوربین‌ها دریافت شد. این ویدئوهای در سه دسته متفاوت قرار می‌گیرند که دسته نخست تصاویری را در روز با حضور آتش دربرمی‌گیرد و دسته دوم ویدئوهای در روز بدون حضور آتش است و درنهایت دسته سوم ویدئوهایی از شب با حضور اجسام متتحرك شبیه آتش است. در جدول (۷)، ویدئوهای مربوط به سطر ۱۲ تا ۱۷ به ویدئوهای شامل آتش گرفته شده از شرکت گاز اشاره دارد و ویدئوهای مربوط به سطر ۲۵ تا ۳۴، ویدئوهای فاقد شعله آتش گرفته شده از شرکت گاز را دربرمی‌گیرند. سایر ویدئوهای آتش گرفته شده از شرکت گاز را دربرمی‌گیرند.

ویدئوهای دریافتی از اینترنت است.

(جدول-۷): اطلاعات ویدئوهای استفاده شده

(Table-7): Information of all video that were used

شماره	نام ویدئو	تعداد قاب در ثانیه	رزولوشن	توضیح
۱	Fire_demo1.avi	30 fps	320 × 240	محیط سریسته شهری
۲	Fire_demo2.avi	30 fps	320 × 240	محیط جنگل
۳	Fire_demo3.avi	30 fps	320 × 240	محیط سریسته شهری
۴	Fire_demo4.avi	30 fps	320 × 240	محیط سریسته شهری
۵	Fire_demo5.avi	30 fps	320 × 240	محیط سریاز شهری
۶	Fire_demo6.avi	30 fps	320 × 240	محیط سریسته شهری
۷	Forest1.avi	15 fps	400 × 256	محیط جنگل
۸	Forest2.avi	15 fps	400 × 256	محیط جنگل
۹	Fire5.avi	15 fps	320 × 240	محیط جنگل
۱۰	Outdoor01.avi	24 fps	320 × 240	محیط سریاز شهری (شرکت گاز)
۱۱	Out_night_fire.avi	24 fps	640 × 80	محیط سریاز شهری (شرکت گاز)
۱۲	Fire1_gaz.avi	25 fps	640 × 480	محیط سریاز شهری (شرکت گاز)
۱۳	Fire2_gaz.avi	25 fps	640 × 480	محیط سریاز شهری (شرکت گاز)
۱۴	Fire3_gaz.avi	25 fps	640 × 480	محیط سریاز شهری (شرکت گاز)
۱۵	Fire4_gaz.avi	25 fps	640 × 480	محیط سریاز شهری (شرکت گاز)

## ۶- پایگاه داده

پژوهش انجام شده بر روی دو دسته ویدئو اجرا شده است. دسته نخست شامل ویدئوهایی است که از تارنمای پردازش سیگنال و تصویر دانشگاه بیلکنت آنکارا گرفته شده است، که انواع مختلف محیط‌های شهری و جنگلی را دربرمی‌گیرد و دسته دوم شامل ویدئوهایی است که به صورت واقعی از محیط مسکونی/اصنعتی شهری گرفته شده است. بخشی از ویدئوهای مورد بررسی شامل شعله آتش و برخی دیگر فاقد شعله آتش هستند. نرخ دریافت قاب در ثانیه، وضوح تصاویر و تعداد قاب‌های ویدئوهای دو دسته باهم متفاوت است که در جدول (۷) مشخصات ویدئوها آمده است.

فصل پنجم



محیط سرباز شهری (شرکت گاز)	640 × 480	25 fps	Fire5_gaz.avi	۱۶
محیط سرباز شهری (شرکت گاز)	640 × 480	25 fps	Fire6_gaz.avi	۱۷
محیط سربسته شهری	320 × 240	30 fps	non_fire_Demo0.avi	۱۸
محیط سربسته شهری	320 × 240	30 fps	non_fire_Demo1.avi	۱۹
محیط سرباز شهری	320 × 240	30 fps	non_fire_Demo2.avi	۲۰
محیط سرباز شهری	320 × 240	30 fps	non_fire_Demo3.avi	۲۱
محیط سرباز شهری	320 × 240	30 fps	non_fire_Demo4.avi	۲۲
محیط سربسته شهری	320 × 240	30 fps	non_fire_Demo5.avi	۲۳
محیط سربسته شهری	320 × 240	30 fps	non_fire2.avi	۲۴
محیط سرباز شهری (شرکت گاز)	320 × 240	25 fps	nonfire1_Gaz.avi	۲۵
محیط سرباز شهری (شرکت گاز)	640 × 480	25 fps	nonfire2_Gaz.avi	۲۶
محیط سرباز شهری (شرکت گاز)	640 × 480	25 fps	nonfire3_Gaz.avi	۲۷
محیط سرباز شهری (شرکت گاز)	640 × 480	25 fps	nonfire4_Gaz.avi	۲۸
محیط سرباز شهری (شرکت گاز)	640 × 480	25 fps	nonfire5_Gaz.avi	۲۹
محیط سرباز شهری (شرکت گاز)	640 × 480	25 fps	nonfire6_Gaz.avi	۳۰
محیط سرباز شهری (شرکت گاز)	640 × 480	25 fps	nonfire7_Gaz.avi	۳۱
محیط سرباز شهری (شرکت گاز)	640 × 480	25 fps	nonfire8_Gaz.avi	۳۲
محیط سرباز شهری (شرکت گاز)	640 × 480	25 fps	nonfire9_gaz.avi	۳۳
محیط سرباز شهری (شرکت گاز)	640 × 480	25 fps	nonfire10_gaz.avi	۳۴

fire detection,” *Chinese Automation Congress (CAC)*, pp. 633–637), 2015.

- [5] A. E Cetin, et al, ”Video fire detection - review,” *Digital Signal Processes A Reveiw Journal*, vol. 23, no.6, pp. 1827–1843, 2013.
- [6] H. Chao, and K. Tzu-Hsin, “Real-time video-based fire smoke detection system,” *International Conference on Advanced Intelligent Mechatronics*, pp.1845-1850, 2009.
- [7] B. Ko, K. Cheong, and J. Nam, ”Early fire detection algorithm based on irregular patterns of flames and hierarchical Bayesian Networks,” *Fire Safety Journal*, vol. 45, no.4, pp. 262-270, 2010.
- [8] B. C. KO, K. H. Cheong, and J-. Nam, ”Fire detection based on vision sensor and support vector machines,” *Fire Safety Journal*, vol. 44, no. 3, pp. 322–329, 2009.
- [9] W. Phillips, and M. Shah, and N. D. V. Lob, ”Flame recognition in video,” *Pattern Recognition Letters*, vol. 23, pp. 319-327, 2002.
- [10] J. Seebamrungsat, S. Praising, and P. Riyamongkol, ”Fire detection in the buildings using image processing,” *Third ICT International Student Project Conference*, pp. 95–98, 2014.
- [11] G. F. Shidik, et al., ”Multi color feature background subtraction and time frame selection for fire detection,” *IEEE International Conference on Robotics, Biomimetics, and Intelligent Computational Systems (ROBIONETICS)*, pp. 115-120, 2013.

## سپاس‌گزاری

این پژوهش با حمایت و پشتیبانی شرکت ملی گاز ایران اجرا شده است؛ بدین‌وسیله از همکاری و حمایت این شرکت صمیمانه تشکر و قدردانی می‌کنیم.

## 7- References

- [1] Kh. Rezaee, M. Ghezelbash, and J. hadadnia, ”Accurate and intelligent fire monitoring system in various environments using image processing,” *20<sup>th</sup> Iranian Conference on Electric*, 2012.
- [2] J. Chen, Y. He, and J. Wang, ”Multi-feature fusion based fast video flame detection,” *Building Environment Journal*, vol. 45, no. 5, pp. 1113–1122, 2010.
- [3] W. Wang, and H. Zhou, ”Fire detection based on flame color and area,” *International Conference on Computer Science and Automation Engineering*, vol. 3, pp. 222–226,2012.
- [4] Q. Zhou, X. Yang, and L. Bu, ”Analysis of shape features of flame and interference image in video

- Conference on Image Processing*, vol. 2, pp. 1230–1233, 2005.
- [23] J. Rong, et al., "Fire flame detection based on GICA and target tracking," *Optics & Laser Technology*, vol. 47, pp. 283–291, 2013.
- [24] H. SunJae, K. Byoungchul, and N. Jae, "Fire-flame detection based on fuzzy finite automation," *20<sup>th</sup> International Conference on Pattern Recognition (ICPR)*, pp. 3919–3922, 2010.
- [25] J. Z, et al., "SVM based forest fire detection using static and dynamic features," *Computer Science Information Systems Journal*, vol. 8, no. 3, pp. 821–841, 2011.
- [26] J. Antony, and J. C. Prasad, "Real Time Fire and smoke detection using multi-expert system for video-surveillance," *international journal for innovative research in science & technology*, vol. 3, 2016.
- [27] K. Muhammad, J. Ahmad, and S. Wookbaik, "Early fire detection using convolutional neural networks during surveillance for effective disaster management," *Neurocomputing*, vol. 288, pp. 30–42, 2018.
- [28] H. Xian-Feng, et al., "Video fire detection based on gaussian mixture model and multi-color features," *Signal, Image and Video Processing*, vol. 11, no. 8, pp. 1419–1425, 2017.
- [29] M. Mahdavi, H. Ahaki, and B. NaserSharif, "Design of a currency recognition system based on neural network using image texture and color", *Signal and Date Processing Journal*, Issue. 7, No. 2, 2011.
- [۲۹] مهدوی، مهرگان، آهکی، حبیب، ناصرشیریف، بابک، طراحی یک سیستم تشخیص اسکناس مبتنی بر شبکه عصبی با استفاده از مشخصه‌های بافت و رنگ تصویر، مجله پردازش علائم و داده‌ها، دوره ۷، شماره ۲، ۱۳۸۹.
- [30] A. Feizy, "Application of Sparse representation and camera collaboration in visual surveillance systems," *Signal and Date Processing Journal*, Issue. 15, No. 3, 2018.
- [۳۰] فیضی، اصغر، استفاده از نمایش پراکنده و همکاری دوربین‌ها برای کاربردهای نظارت بینایی، مجله پردازش علائم و داده‌ها، دوره ۱۵، شماره ۳، ۱۳۹۷.
- [12] T. Ccilik, H. Ozkaramanli, and H. Demirci, "Fire pixel classification using fuzzy logic and statistical color model," in *IEEE International Conference on Acoustics, Speech and Signal Processing (ICASSP)*, vol. 1, pp. 1000–1205, 2007.
- [13] B.-H. Cho, J.-W. Bac, and S.-H. Jung, "Image processing-based fire detection system using statistic color model," *8th International Conference on Advanced Language Processing and Web Information Technology*, pp. 245–250, 2008.
- [14] T.-H. Chen, P.-H. Wu, and Y. Chiou, "An early fire-detection method based on image processing," in *International Conference on Image Processing, (ICIP '04)*, vol. 3, pp. 1707–1710, 2004.
- [15] S. C. Pol, et al., "Fire detection using image processing and sensors, " *International Journal of Engineering Trends and Applications*, vol. 3, pp. 85–87, 2016.
- [16] B. U. Toreyin, Y. Dedeoglu, U. Gudukbay, and A. E. Cetin, "Computer vision based method for real-time fire and flame detection," *Pattern Recognition Letters*, vol. 27, pp. 49–58, 2006.
- [17] T. X. Truong, and J. Kim, "Fire flame detection in video sequences using multi-stage pattern recognition techniques," *Engineering Applications of Artificial Intelligence*, vol. 25, no. 7, pp. 1365–1372, 2012.
- [18] Y. Zhao, and G. Tang, "Fire video recognition based on flame and smoke characteristics, " in *The 2nd International Conference on Systems and Informatics (ICSAI 2014)*, pp. 113–118, 2014.
- [19] K. Dimitropoulos, P. Barmpoutis, N. Grammalidis, "Spatio-temporal flame modeling and dynamic texture analysis for automatic video-based fire detection," *IEEE transactions on circuits and systems for video technology*, vol. 25, no. 2, pp. 339–351, 2015.
- [20] X-L. Zhou, et al., "Early fire detection based on flame contours in video," *Information Technology Journal*, vol. 9, no. 5, pp. 899–908, 2010.
- [21] M. Akarami, "Study and improvement of fire detection algorithm in video images", M.S. Thesis, Faculty of Electrical and Computer Engineering, Yazd University, 2012.
- [۲۱] اکرمی، محمد، مطالعه و بهبود الگوریتم‌های تشخیص آتش در تصاویر ویدئویی، پایان‌نامه کارشناسی ارشد، دانشکده مهندسی برق و کامپیوتر، دانشگاه یزد، ۱۳۹۱.
- [22] B. U. Toreyin, Y. Dedeoglu, and A. E. Cetin, "Flame detection in video using hidden Markov models, " in *IEEE International Conference on Image Processing (ICIP)*, vol. 3, pp. 1707–1710, 2004.

فصل پنجم  
شماره ۳ پیاپی ۴۱  
سال ۱۳۹۸





علی ابراهیمی دانشجوی دکترای مهندسی کامپیوتر در رشته سیستم‌های نرم‌افزاری دانشگاه آزاد اسلامی واحد میبد است؛ ایشان تحصیلات خود را در مقطع کارشناسی ارشد در رشته مهندسی کامپیوتر گرایش نرم‌افزار در سال ۹۳ با رتبه ممتاز از دانشگاه آزاد اسلامی واحد یزد به اتمام رسانده است. موضوعات پژوهشی مورد علاقه نامبرده مبحث پردازش تصویر، شبکه‌های کامپیوتر و داده‌کاوی است. مقالات متعددی در کنفرانس‌های داخلی و مجلات معتبر خارجی در زمینه پردازش تصویر و امنیت سامانه‌های نرم‌افزاری از ایشان به چاپ رسیده است. در حال حاضر بعنوان رئیس فناوری اطلاعات و ارتباطات شرکت گاز استان یزد مشغول به کار است.

نشانی رایانمه ایشان عبارت است از:

[ebrahimi@nige-yazd.ir](mailto:ebrahimi@nige-yazd.ir)



فائزه کریمی زارچی مدرک کارشناسی خود را در رشته مهندسی کامپیوتر گرایش نرم‌افزار از دانشگاه صنعتی اصفهان در سال ۱۳۹۱ و مدرک کارشناسی ارشد خود را با درجه عالی در رشته مهندسی کامپیوتر گرایش هوش مصنوعی و رباتیک از دانشگاه یزد در سال ۱۳۹۵ دریافت کرده است. ایشان در دوره کارشناسی ارشد بعنوان دانشجوی ممتاز درجه بوده‌اند. نشانی رایانمه ایشان عبارت است از:

[karimi.saezeh796@gmail.com](mailto:karimi.saezeh796@gmail.com)



ولی درهمی دوره کارشناسی خود را در رشته مهندسی برق (سیستم‌های کنترل هوشمند) از دانشگاه صنعتی اصفهان در سال ۱۳۷۵ به اتمام رسانیده و در سال ۱۳۷۷ و ۱۳۸۶ به ترتیب مدرک کارشناسی ارشد و دکتراخود را از دانشگاه تربیت مدرس در رشته مهندسی برق (سیستم‌های کنترل هوشمند) دریافت کرده است. وی هم‌اکنون دانشیار گروه مهندسی کامپیوتر و عضو هیئت علمی دانشگاه یزد است. زمینه پژوهشی مورد علاقه ایشان سامانه‌های فازی عصبی، کنترل هوشمند، یادگیری تقویتی، رباتیک، موتور جستجو و فناوری اطلاعات است. ایشان بیش از ۱۵۰ مقاله چاپ شده در نشریات و کنفرانس‌های معتبر دارد.

نشانی رایانمه ایشان عبارت است از:

[vderhami@yazd.ac.ir](mailto:vderhami@yazd.ac.ir)



علی محمد لطیف فارغ التحصیل رشته مهندسی کامپیوتر در مقطع دکترا از دانشگاه اصفهان است. ایشان دوره کارشناسی را در سال ۱۳۷۲ در رشته مهندسی برق الکترونیک از دانشگاه صنعتی اصفهان به اتمام رسانیده و در سال ۱۳۷۵ مدرک کارشناسی ارشد خود را در رشته مهندسی برق گرایش الکترونیک از دانشگاه صنعتی امیرکبیر اخذ کرده است. وی هم‌اکنون دانشیار گروه مهندسی کامپیوتر و عضو هیئت علمی دانشگاه یزد است. زمینه پژوهشی مورد علاقه ایشان، پردازش تصاویر دیجیتال و محاسبات نرم است. ایشان تعداد زیادی مقاله و انتشارات در این زمینه دارد.

نشانی رایانمه ایشان عبارت است از:

[alatif@yazd.ac.ir](mailto:alatif@yazd.ac.ir)

